

調査件名 _____ 試験年月日 _____

試料番号 (深さ) T3-3 (18.00~18.95m) _____ 試験者 _____

試験機 No.	12	供 試 体	直 径 D cm	6.00	初 期 状 態	含水比 w_0 %	68.2
最低~最高室温 $^{\circ}\text{C}$	19~21		断 面 積 A cm^2	28.27		間隙比 e_0 , 体積比 V_r	1.867
土質名称			高 さ H_0 cm	2.00		湿潤密度 ρ_s g/cm^3	1.569
土粒子の密度 ρ_s g/cm^3	2.674		質 量 m_0 g	88.71		飽和度 S_{r0} %	97.7
液性限界 w_L %	77.0		炉乾燥質量 m_s g	52.74		圧縮指数 C_c	0.741
塑性限界 w_p %	37.9		実質高さ H_s cm	0.6977		圧密降伏応力 p_c kN/m^2	182.6

載荷 段階	圧密圧力 p kN/m^2	圧力増分 Δp kN/m^2	圧 密 量 ΔH cm	供試体高さ H cm	平均供試体高さ \bar{H} cm	圧 縮 ひ ず み $\Delta \varepsilon = \Delta H / \bar{H} \times 100 \%$	体積圧縮係数 m_v m^2/kN	間隙比 $e = H/H_s - 1$ 体積比 $V = H/H_s$
0	0.0			2.0000				1.867
		9.8	0.0040		1.9980	0.200	2.04E-4	
1	9.8			1.9960				1.861
		9.8	0.0046		1.9937	0.231	2.36E-4	
2	19.6			1.9914				1.854
		19.6	0.0107		1.9861	0.539	2.75E-4	
3	39.2			1.9807				1.839
		39.3	0.0172		1.9721	0.872	2.22E-4	
4	78.5			1.9635				1.814
		78.5	0.0356		1.9457	1.830	2.33E-4	
5	157.0			1.9279				1.763
		156.9	0.1245		1.8657	6.673	4.25E-4	
6	313.9			1.8034				1.585
		313.9	0.1552		1.7258	8.993	2.86E-4	
7	627.8			1.6482				1.362
		627.9	0.1432		1.5766	9.083	1.45E-4	
8	1255.7			1.5050				1.157
		-1245.9	-0.1028		1.5564	-6.605	5.30E-5	
9	9.8			1.6078				1.304
10								

載荷 段階	平均圧密圧力 \bar{p} kN/m^2	t_{90} , t_{50} min	圧密係数 c_v cm^2/d	透水係数 k m/s	一次圧密量 ΔH_1 cm	一次圧密比 $r = \Delta H_1 / \Delta H$	補正圧密係数 $c'_v = r c_v$ cm^2/d	透水係数 k' m/s
0	4.9	0.70	1741.0	4.03E-9	0.0023	0.575	1001.1	2.32E-9
1	13.9	0.44	2757.8	7.39E-9	0.0014	0.304	838.4	2.25E-9
2	27.7	0.48	2508.8	7.83E-9	0.0040	0.374	938.3	2.93E-9
3	55.5	0.53	2240.2	5.65E-9	0.0069	0.401	898.3	2.26E-9
4	111.0	0.85	1359.7	3.60E-9	0.0147	0.413	561.6	1.49E-9
5	222.0	2.90	366.4	1.77E-9	0.0530	0.426	156.1	7.53E-10
6	443.9	4.02	226.2	7.35E-10	0.0961	0.619	140.0	4.55E-10
7	887.9	3.48	218.1	3.59E-10	0.0882	0.616	134.3	2.21E-10
8								
9	110.9							
10								

特記事項

$$H_s = m_s / (\rho_s A)$$

$$H = H' - \Delta H$$

$$\bar{H} = (H + H') / 2$$

$$m_v = (\Delta \varepsilon / 100) / \Delta p$$

$$S_{r0} = w_0 \rho_s / (e_0 \rho_w)$$

$$\bar{p} = \sqrt{p \cdot p'}$$

$$\sqrt{t} \text{法: } c_v = 305 \times \bar{H}^2 / t_{90}$$

$$\text{曲線定規法: } c_v = 70.9 \times \bar{H}^2 / t_{50}$$

$$k = c_v m_v \gamma_w / (8.64 \times 10^8)$$

$$k' = c'_v m_v \gamma_w / (8.64 \times 10^8)$$

ただし, $\gamma_w \approx 9.81 \text{kN}/\text{m}^3$

[1kN/m² \approx 0.0102kgf/cm²]

調査件名

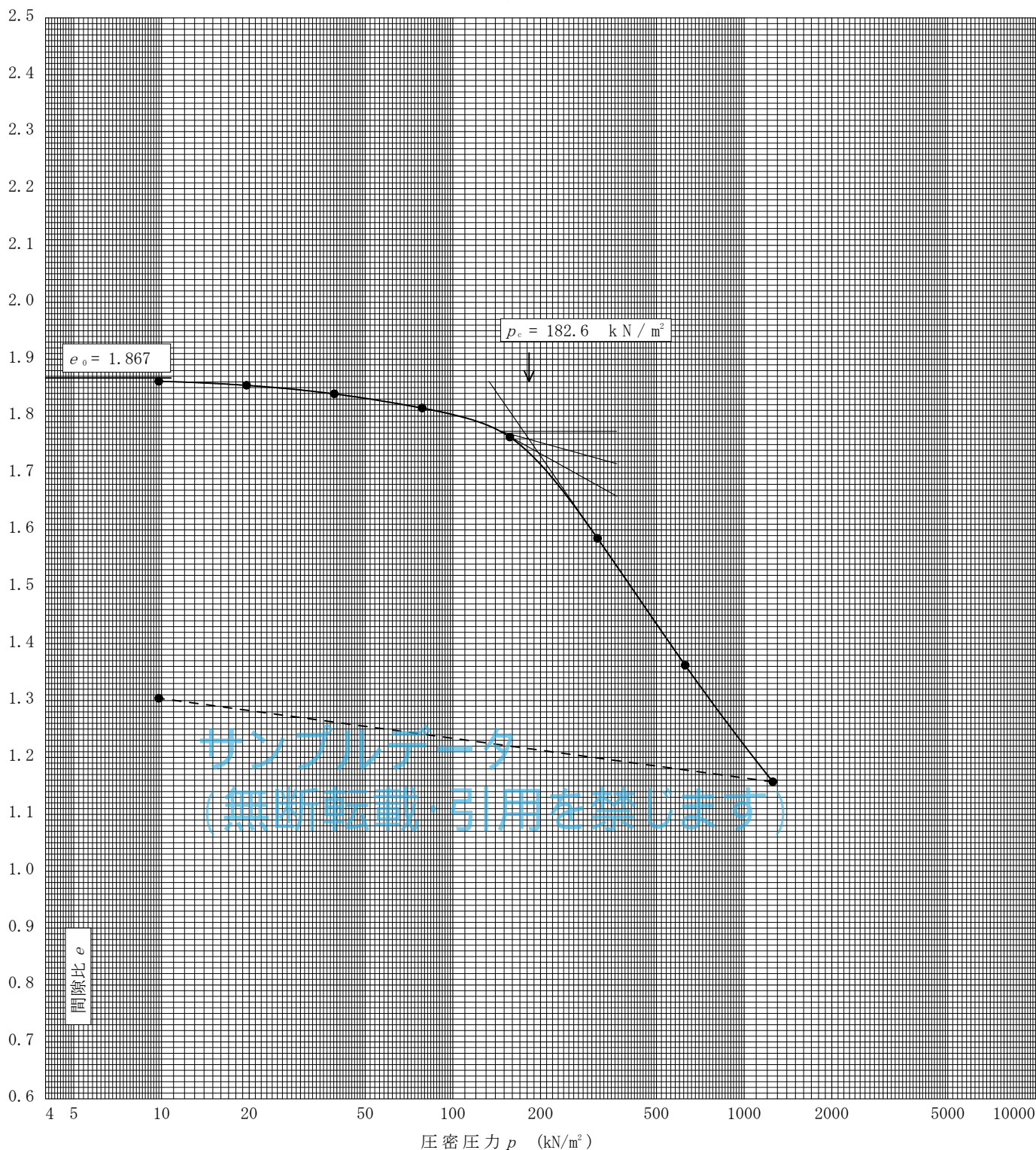
試験年月日

試料番号(深さ) T3-3 (18.00~18.95m)

試験者

土粒子の密度 ρ_s g/cm ³	液性限界 w_L %	塑性限界 w_p %	初期含水比 w_0 %	初期間隙比 e_0 初期体積比 f_v	圧縮指数 C_c	圧密降伏応力 p_c kN/m ²	ひずみ速度 ¹⁾ %/min
2.674	77.0	37.9	68.2	1.867	0.741	182.6	

透水係数 k (m/s)²⁾



特記事項

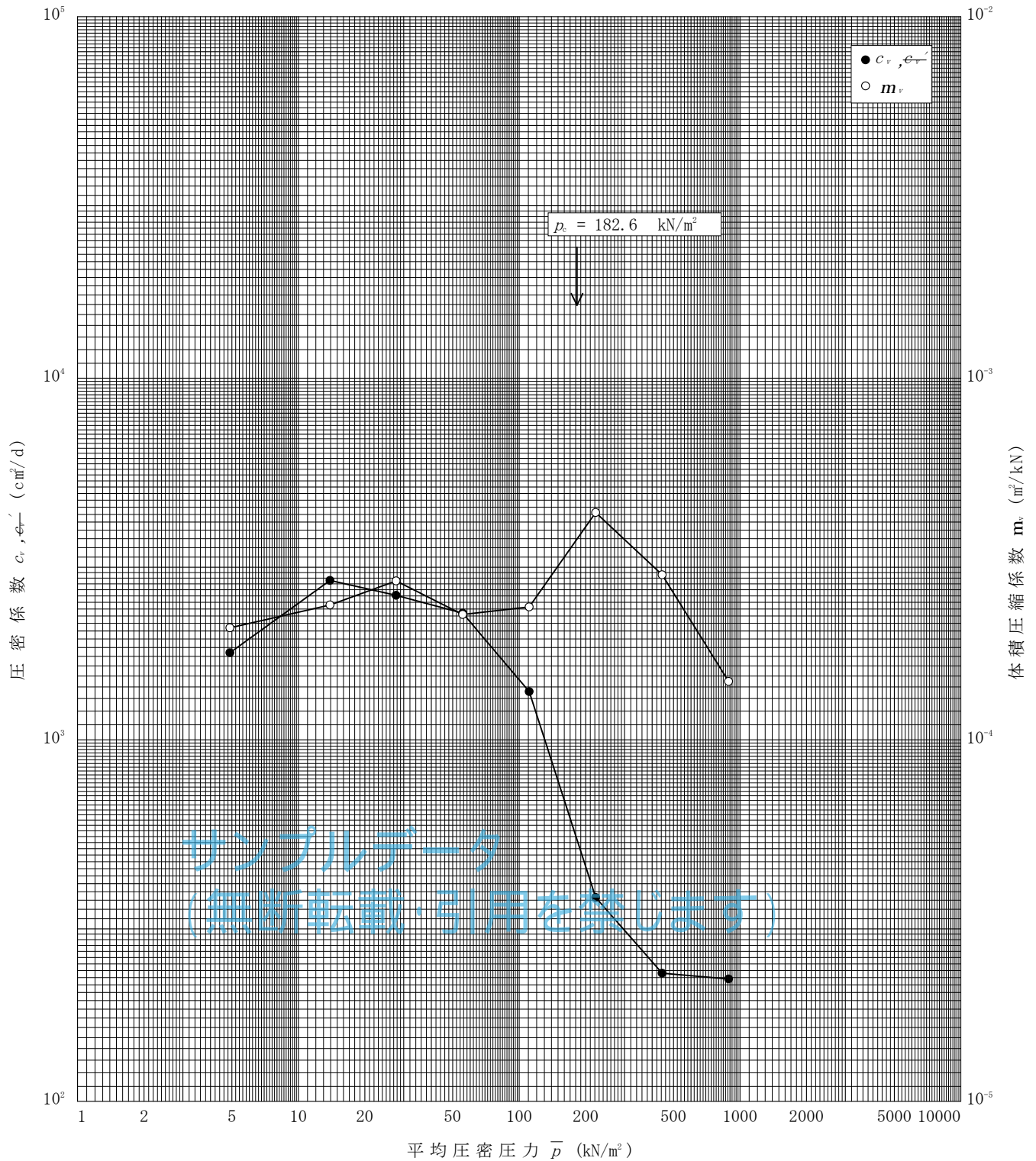
- 1) 定ひずみ速度载荷による圧密試験の時のみ記入する。
- 2) 定ひずみ速度载荷による圧密試験の時のみ使用する。
[1kN/m² ≒ 0.102kgf/cm²]

調査件名

試験年月日

試料番号(深さ) T3-3 (18.00~18.95m)

試験者



特記事項